

ТЕОРЕТИЧНИЙ І НАУКОВО-ПРАКТИЧНИЙ ЖУРНАЛ
ІНЖЕНЕРНОЇ АКАДЕМІЇ УКРАЇНИ

THEORETICAL AND APPLIED SCIENCE JOURNAL
ENGINEERING ACADEMY OF UKRAINE



В І С Н И К

ІНЖЕНЕРНОЇ АКАДЕМІЇ УКРАЇНИ

ВИПУСК 3

***BULLETIN OF ENGINEERING ACADEMY
OF UKRAINE***

Issue 3

С.В. Гололобов А.Ю., Арджомандифард А. СИСТЕМА ОЦЕНКИ РИСКОВ БЕЗОПАСНОСТИ РЕСУРСОВ ЦИФРОВЫХ СИСТЕМ	78
Д.П. Моргун К.О., Голенковская Т.И. ОЦЕНКА ИНТЕГРАЛОВ МЕТОДОМ МОНТЕ-КАРЛО ПРИ РЕШЕНИИ ЗАДАЧИ ОПТИМИЗАЦИИ СИНТЕЗИРОВАННЫХ ОБЪЕКТОВ	82
В.В. Чирва Д.П., Басюк И.А., Приходько Т.Ю. АДАПТИВНЫЕ МОДЕЛИ БАЗЫ ЗНАНИЙ ИНФОРМАЦИОННОЙ ТЕХНОЛОГИИ АВТОМАТИЗИРОВАННОЙ ДИАГНОСТИКИ ВЫСОКОСКОРОСТНЫХ НЕРЕГУЛЯРНЫХ ПРОЦЕССОВ	88
І.І. Кузнецов К.Ю. ПОРІВНЯЛЬНИЙ АНАЛІЗ АЛГОРИТМІВ АСИМЕТРИЧНОГО ШИФРУВАННЯ	93
Т.О. Білецький В.С. ЗАХИСТ WEB-РЕСУРСІВ ВІД НЕСАНКЦІОНОВАНОГО ДОСТУПУ ЗА ДОПОМОГОЮ МЕХАНІЗМІВ ВІДКРИТТЯ МЕРЕЖНИХ АТАК ТА МОНІТОРИНГУ ПІДОЗРЛИВОЇ АКТИВНОСТІ	99
В.М. Шувалова Л.А., Нестеренко О. Б. СИНТЕЗ ОПЕРАЦІЙ КРИПТОГРАФІЧНОГО ПЕРЕТВОРЕННЯ ЗА КРИТЕРІЄМ СТРОГОГО СТІЙКОГО КОДУВАННЯ	105
К.І. Савинова К.І. АЛГОРИТМ ОБРОБКИ ДАНИХ RSA ПЕРЕДНЬО-БОКОВОГО ОГЛЯДУ В РЕЖИМІ РЕАЛЬНОГО ЧАСУ	108
С.В. Вітер В.В. МЕТОДИ І ЗАСОБИ ЗАХИСТУ ІНФОРМАЦІЇ ВІД НЕСАНКЦІОНОВАНОГО ДОСТУПУ В ІНФОРМАЦІЙНО - КОМУНІКАЦІЙНИХ СИСТЕМАХ ТА МЕРЕЖАХ	114
Н.Е. Блакита Ю.П. АНАЛІЗ МОЖЛИВОСТЕЙ ВИКОРИСТАННЯ СУЧАСНИХ ГРАФІЧНИХ КАРТ В КЛАСТЕРНИХ СИСТЕМАХ	119

Матеріалознавство

В.В. Крижанівська Т.В., Смірнов А.В. ДИПОЛЬНІ МОМЕНТИ НАНОКЛАСТЕРІВ КРЕМНІЮ: МОДЕЛЮВАННЯ	124
В.В. Ковальчук Н.Г., Коваленко Л.Б. ЕЛЕКТРОННА СТРУКТУРА НАНОКЛАСТЕРІВ КРЕМНІЮ: МОЖЛИВОСТІ ПАРАМЕТРИЧНИХ СХЕМ	129
С.Ф. Филоненко С.Ф. СВЯЗЬ АКУСТИЧЕСКОЙ ЭНЕРГИИ С ИЗМЕНЕНИЕМ ДИСПЕРСНОСТИ СВОЙСТВ ОБРАБАТЫВАЕМОГО КОМПОЗИТА	133

Машинобудування

В.В. Аулін В.М., Кузик О.В. ХАРАКТЕР ФОРМОУТВОРЕННЯ ГРАФІТУ В ЧАВУНІ В ПРОЦЕСІ ВИПЛАВКИ ТА ЛАЗЕРНОЇ ОБРОБКИ	139
--	-----

Охорона навколишнього середовища (інженерна екологія) і ресурсозбереження

Ю.О. Коцюба І.Г., Сльнікова Т.О. ДОСЛІДЖЕННЯ ФІЛЬТРАЦІЙНИХ ВОД ЗВАЛИЩА ТВЕРДИХ ПОБУТОВИХ ВІДХОДІВ М. ЖИТОМИРА	146
В.Л. Филипчук М.С., Филипчук Л.В., Филипчук О.М., Крилок В.М., Почтар О.В. ОЧИЩЕННЯ КАЛАМУТНИХ ВОД У ФІЛЬТРАЦІЙНО-РЕГЕНЕРАЦІЙНИХ БІОПЛАТО	150

УДК 519.245

¹Д. П. Кучеров, д.т.н., с.н.с.¹К.О. Моргун, аспирант²Т. И. Голенковская

ВЫЧИСЛЕНИЕ ИНТЕГРАЛОВ МЕТОДОМ МОНТЕ-КАРЛО ПРИ РЕШЕНИИ ЗАДАЧИ ОСВЕЩЁННОСТИ СИНТЕЗИРОВАННЫХ ОБЪЕКТОВ

Национальный авиационный университет, e-mail: d_kuchеров@ukr.net

Центральный научно-исследовательский институт вооружения и военной техники Вооруженных Сил Украины, e-mail: zndi-admin@mil.gov.ua

Рассматривается задача вычисления многомерных интегралов методом Монте-Карло, которая наиболее часто применяется при расчёте глобальной освещённости синтезированных объектов, созданных различными программными системами, известная как задача рендеринга. Предлагается метод и алгоритм расчёта таких интегралов.

Введение

Автоматическое построение изображений на экране монитора – наиболее часто возникающая задача в связи с развитием компьютерной векторной графики и в задачах распознавания изображений. Создание фотореалистичных изображений также требует построения большого количества объектов, которые служат некоторым каркасом, на которые натягивается текстура, при этом реалистичность достигается освещённостью созданной картинке. Освещённость оценивается яркостью в направлении наблюдателя, создаваемой в точке видимости освещаемой поверхности. Модель освещённости представляет собой сложное интегральное уравнение, которое не решается в квадратурах. Основной техникой его решения является аппроксимация. В компьютерной графике это уравнение известно, как уравнение рендеринга [1]

Типичным решением уравнения рендеринга считается разложение в ряд. Основной трудностью разложений такого вида является обеспечение сходимости выстраиваемого ряда. Это достигается выбором радиуса спектрального оператора разложения, который для сходимости должен быть меньше. Ряд имеет большое количество компонентов, определяемое числом переизлучений источника света точку наблюдения.

Одним из самых привлекательных методов решения этого уравнения является применение метода Монте-Карло, основы которого были предложены Дж. фон Нейманом для задачи прохождения нейтронов через различные среды [2].

Целью статьи является разработка метода и алгоритма решения задачи освещённости синтезированного объекта компьютерными средствами для получения изображения достаточно близкого к реальному.

Анализ последних исследований и публикаций

Теоретические основы метода Монте-Карло доступно излагаются в [1-4]. В работах [5] предлагается вычисление глобальной освещённости сцены, представленной интегральным уравнением Фредгольма 2-го рода. После проведения ряда преобразований это уравнение приводится к форме Римана, которое решается классическим методом Монте-Карло.

Авторами [6] предлагается построение локальной оценки освещённости в заданной точке сцены моделируется с использованием диффузной функции отражения, определяемой точками наблюдателя наблюдения в предположении о Марковском блуждании луча по сцене. Двойная локальная оценка предыдущей оценки учитывает направление прихода вторичных лучей, что позволяет им оценить значение яркости в произвольной точке трёхмерной сцены. В обоих случаях к положительному результату приводит оценка освещённости, представляющая свертку весовых коэффициентов и функции Маркова с некоторой функцией, называемой «ядром», по всем возможным лучам. Однако, в соответствии с убедительными доказательствами, о количестве испытаний, представленными в [7], вывод о высокой точности применённого подхода является преждевременным.

Сокращение вычислительных затрат при решении задачи освещённости сцены в [8] достигается использованием метода квази-Монте-Карло и свойств подынтегральной функции.

Программную разработку моделирования прохождения света через многослойные материалы методом Монте-Карло в стандарте C предложено в [9].

Рассматривается модель распространения света, определяемая в соответствии с [1, 10] интегральным уравнением вида

$$L(x, \omega, \lambda, t) = L_0(x, \omega, \lambda, t) + \int_{\Omega} f_r(x, \omega, \omega', \lambda, t) L_i(x, \omega', \lambda, t) (-\omega' \cdot n) d\omega', \quad (1)$$

котором $L(\cdot)$ – количество света, действующего на наблюдателя из точки x , ω – направление, с которого наблюдателю видна точка x в диапазоне длин видимого света λ в момент времени t ; $L_0(\cdot)$ – количество света излучаемое источником; $L_i(\cdot)$ – количество света, которое приходит с направления ω' в момент t ; $f_r(\cdot)$ – двунаправленная функция распределения переотражения света с направления ω' в ω ; $(-\omega' \cdot n)$ – коэффициент поглощения поверхности, Ω – освещаемая область, вид которой не определён.

В качестве источника света используется анизотропный источник с равномерным освещением поверхности, а освещаемый объект является однородным. Эти условия делают возможным введение следующих допущений

$$L_0(\cdot) = const, f_r(\cdot) = const, (-\omega', n) = const. \quad (2)$$

В силу (2) уравнение (1) трансформируется к виду

$$L'(x, \omega, \lambda, t) = \int_{\Omega} L'_i(x, \omega', \lambda, t) d\omega', \quad (3)$$

котором $L'(\cdot)$ отличается от $L(\cdot)$ масштабными коэффициентами, а величины $L'(\cdot)$ и $L_0(\cdot)$ смещением, определяемым из (1) и (2). Такие преобразования позволяют упростить уравнение (1) не изменяя сути дела.

В работе ставится и решается задача разработки метода и алгоритма вычисления интеграла (3).

Основной материал исследований

Уравнение рендеринга (3) представляет собой интегральное уравнение Фредгольма 2-го рода, которое имеет решения обычными способами (аналитического и в квадратурах). Для его решения используют другой подход, основанный на методе Монте-Карло по типу бросания игровой кости, игры в рулетку или релльбы «промах-попадание», который даёт приближённое решение. Сразу же следует заметить про необходимость равномерного распределения случайной величины в пределах интервала интегрирования. Принцип интегрирования заключается в замене реальной подынтегральной функции случайным числом, связанным с исходной функцией на интервале интегрирования и подсчёте числа попаданий в интервал интегрирования, что называют разыгрыванием случайной величины. Это приводит к тому, что вместо числения интеграла

$$I = \int_{\Omega} f(x) dx, \quad (4)$$

горый является достаточно сложным в вычислительном плане, вычисляется его оценка статистическими методами [4]. Предположим, что имеется случайная величина ξ с равномерной относительно распределения $p_{\xi}(x)$

$$\int_{\Omega} p_{\xi}(x) dx = 1. \quad (5)$$

гда можно найти случайную величину η , связанную с ξ соотношением

$$\eta = f(x) / p_{\xi}(x). \quad (6)$$

гда математическое ожидание величины η

$$M(\eta) = \int_{\Omega} \left[\frac{f(x)}{p_{\xi}(x)} \right] p_{\xi}(x) dx = \int_{\Omega} f(x) dx \quad (7)$$

позволяет применить к вычислению интеграла (1) статистические методы

$$I \approx \frac{1}{N} \sum_{i=1}^N \eta_i, \quad (8)$$

где $\eta_i = f(\xi_i) / p(\xi_i)$, а N – большая выборка случайных величин ξ_i , $N \rightarrow \infty$, воспользовавшись законом больших чисел (теорема А.Я. Хинчина).

Моделирование

Как известно [11, 12], окраска объектов получается путем смешения простых (не представимых сочетанием других) цветов в определенных пропорциях. При описании цветовых характеристик объектов удобно пользоваться понятием цветового пространства, которое позволяет описать цвет в цветовых координатах, т.е. представить цвет в виде некоторой математической модели. Наиболее популярной компьютерной графике является RGB-модель представления цвета объектов. Кривые наблюдения интенсивности цветовых координат XYZ в зависимости от длин волн, рекомендуемые Международной комиссией по освещенности (CIE) показаны на рис. 1.

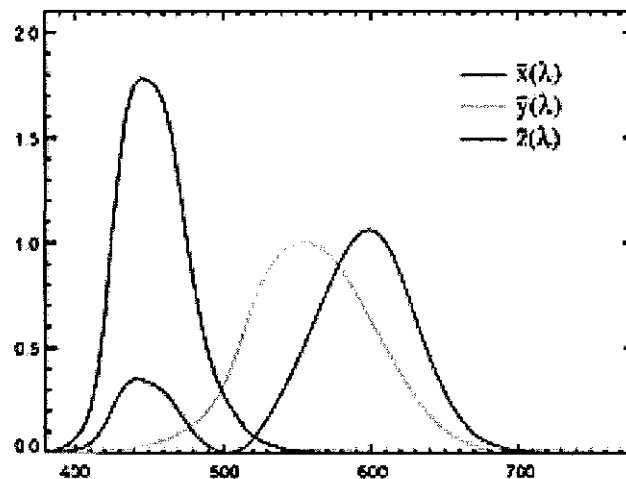


Рис. 1. Цветовые координаты $X(\lambda)$, $Y(\lambda)$, $Z(\lambda)$.

Видимый свет располагается в диапазоне 380-730 нм.

Кривые отражения света разными поверхностями представлены на рис. 2, причем на рис. 2, а показаны отражение поверхностей, значения которых изменяются незначительно или остаются постоянными с изменением длины волны. Такие объекты называются ахроматическими. Это такие поверхности как мел, белая материя, снег, окись цинка. Кривые отражения поверхностей, цвета которых малонасыщенные приведены на рис. 2, б.

В качестве примера приведены разные степени пожелтения листа дуба. Из рисунка видно, что насыщенность цвета возрастает по мере пожелтения листа. На рис. 2, в показано несколько примеров, из которых следует, что краски могут весьма сильно отражать в одной области спектра, обладая существенным поглощением в другой. Приведенные кривые являются непрерывными функциями длин волны $\rho(\lambda)$.

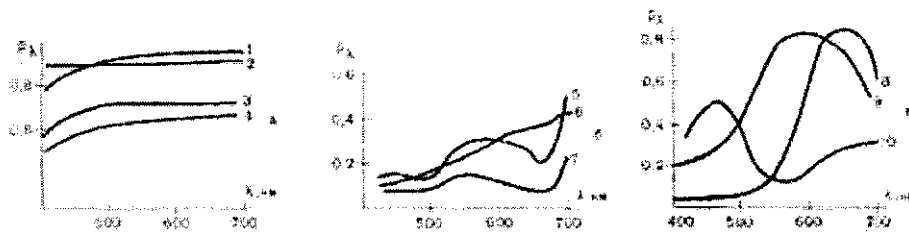


Рис. 2. Кривые отражения разных поверхностей:

а) ахроматические: 1 – белая материя; 2 – снег; 3 – окись цинка; 4 – мел;

б) малонасыщенные (лист дуба): 5 – желтый; 6 – бурый; 7 – зеленый;

в) насыщенные: 8 – киноварь; 9 – кадмиевая желтая; 10 – кобальт синий

Для преобразования эти кривых к трехцветным величинам необходимо вычислить интегралы

$$X = \int_{\lambda_1}^{\lambda_2} S_e(\lambda) \bar{x}(\lambda) d\lambda, \tag{9}$$

$$Y = \int_{\lambda_1}^{\lambda_2} S_e(\lambda) \bar{y}(\lambda) d\lambda, \tag{10}$$

$$Z = \int_{\lambda_1}^{\lambda_2} S_e(\lambda) \bar{z}(\lambda) d\lambda. \tag{11}$$

В (9) – (11) $\bar{x}, \bar{y}, \bar{z}$ – стандартные функции наблюдения цветовых координат, вид которых приведен на рис.1, а $S_e(\lambda)$ – спектральная плотность силы света.

В качестве образцового изображения воспользуемся таблицей Макбета (Macbeth chart) (рис.3), представляющую плоскую картонку с 24 образцовыми цветами, которые обычно используют в компьютерной графике для определения цветового баланса или же оптической плотности любой системы цветопередачи.

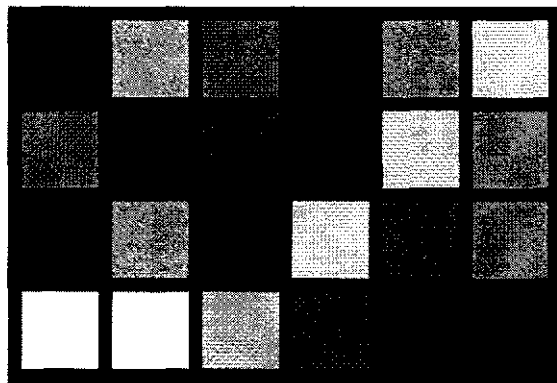


Рис. 3. Таблица Макбета

При интегрировании воспользуемся результатами спектральных данных для таблицы Макбета из [12]. Вычисление интегралов (9) – (11) проводится в соответствии с (8) в виде

$$I_x = \frac{(\lambda_2 - \lambda_1)}{N} \sum_{i=0}^{N-1} S_e(\lambda) \bar{x}(\lambda), \tag{12}$$

где $S_e(\lambda)$ – спектральное распределение света, $\bar{x}(\lambda)$ – значение функции наблюдения по СIE. Тогда вычисление интеграла (4) методом Монте-Карло в соответствии с (12) сводится к случайному выбору длины волны λ из диапазона видимого света, определении значений $S_e(\lambda)$ и $\bar{x}(\lambda)$, перемножении этих величин, повторении этой операции N раз и умножении конечного результата на коэффициент $(\lambda_2 - \lambda_1)/N$. Из координатной системы XYZ допускается переход к модели RGB путем матричного перемножения из одной координатной системы в другую, поскольку модели являются линейными и аддитивными

$$\begin{pmatrix} R \\ G \\ B \end{pmatrix} = T \begin{pmatrix} X \\ Y \\ Z \end{pmatrix}, \quad (13)$$

где T – матрица преобразования вида [13]

$$T = \begin{pmatrix} 0,41847 & -0,15866 & -0,082835 \\ -0,091169 & 0,25243 & 0,015708 \\ 0,00092090 & -0,0025498 & 0,17860 \end{pmatrix}.$$

Рендеринг каждой цветовой площадки таблицы Макбета проводился представлением каждого её квадрата 64×64 пикселями. Определив случайное значение λ длины волны области видимого спектра в интервале длиной 10 нм определяется значение спектральной плотности, заданной строго определённой таблицей, проход по значениям кривых наблюдения осуществляется шагом 5 нм . В тех же случаях, когда длина волны проскакивает табличные значения, используемое в расчётах определяется интерполяцией между двумя соседними. Качество изображения таблицы зависит от количества проходов N в (12). Конечная цель интегрирования получить табличку рис.3, но средствами компьютерной графики, проведя моделирование интегрирования методом Монте-Карло.

Окончательные значения XYZ нормируются и преобразуются в значения RGB. Описанный цикл обработки замыкается по каждому пикселю квадратика. Как видно, из рис.3 таких квадратиков в табличке 24 (колонок – 6, а строк – 4). Далее данные сберегаются в отдельном файле на диске. Значения модели для каналов RGB, полученные в соответствии с (13) находятся в интервале $[0, 1]$. Просмотр полученного изображения на экране монитора требует нелинейного преобразования, т.е. выполнения гамма-коррекции и преобразования его в модель sRGB. Модель sRGB может быть получена следующими преобразованиями с каждым из значений RGB

$$C_{sRGB} = \begin{cases} 12,92C_{lin}, & \text{если } C_{lin} \leq 0,0031308, \\ (1 + a)C_{lin}^{\frac{1}{2,4}} - a, & \text{если } C_{lin} > 0,0031308, \end{cases} \quad (14)$$

где $a = 0,55$. Полученные значения также приводятся к диапазону $[0, 1]$ и для перевода к диапазону $[0, 255]$ умножаются на коэффициент 255, далее округляются для получения целых значений.

На рис.4-7 показаны результаты интегрирования таблицы Макбета для $N=32, 128, 512, 1024$.

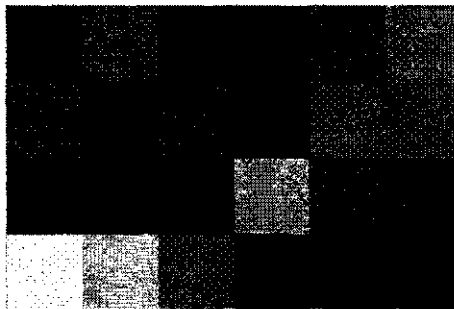


Рис. 4. $N=32$.

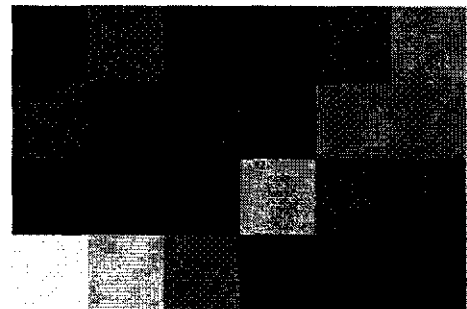


Рис. 5. $N=128$.

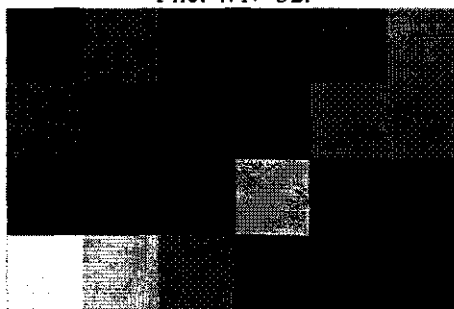


Рис. 6. $N=512$.

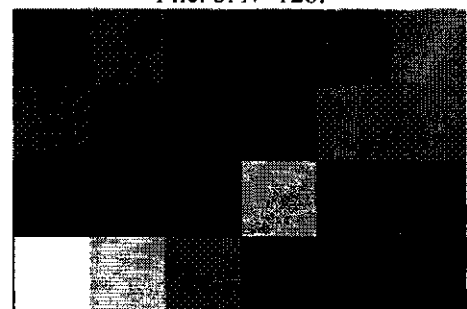


Рис. 7. $N=1024$.

Анализ этих рисунков позволяет сделать вывод об уровне достигаемого шума. Для того, чтобы уменьшить шум на картинке в 2 раза, необходимо в 4 раза увеличить число N . Таким образом, можно считать технику Монте-Карло как возможное средство для уменьшения шума на создаваемом образе.

Выводы

Рассмотрена задача освещённости объектов, синтезированных программными средствами. Предложено стохастическое решение уравнения рендеринга методом Монте-Карло.

Разработан единый механизм, позволяющий решать широкий круг задач компьютерной графики и светотехники, а именно: синтезировать фотореалистичные изображения, проводить расчеты глобального освещения, создавать оптические эффекты, сложную текстуру, затенение, оползни поверхности, эффекты пост-обработки.

Литература

1. Kajiya J. T. The rendering equation / J. T. Kajiya // Proceedings SIGGRAPH '86. Computer Graphics, 1986. – Vol. 20. – P. 143-150.
2. Соболев И.М. Численные методы Монте-Карло / И.М. Соболев. – М.: Наука, 1973. – 305 с.
3. Mathematical handbook for scientist and engineers / G. A. Korn, T. A. Korn. – N.Y.: McGraw-Hill Book Company, 1968. – 832 p.
4. Гмурман В.Е. Теория вероятностей и математическая статистика / В.Е. Гмурман. – М.: Высшая школа, 1972. – 368 с.
5. Васильева Ю.О. Вычисление глобальной освещённости методом Монте-Карло / Ю.О. Васильева, Е.Н. Ляшенко // Світлотехніка і електроенергетика. – №3–4. – 2010. – С. 16-20.
6. Будак В.П. Локальные оценки метода Монте-Карло в решении уравнения глобального освещения с учётом спектрального представления объектов / В.П. Будак, В.С. Желтов, Т.К. Калакуцкий // Компьютерные исследования и моделирование. – Т4. – № 1. – 2012. – С. 75-84. – [Электронный ресурс]. – Режим доступа: http://crm.ics.org.ru/uploads/crmissues/crm_2012_1/12106.pdf.
7. Орлов А.И. Взаимосвязь предельных теорем и метода Монте-Карло / А.И. Орлов // Научный журнал КубГАУ. – № 114 (10). – 2015. – С. 1-15. – [Электронный ресурс]. – Режим доступа: <http://ej.kubagro.ru/2015/10/pdf/02.pdf>.
8. Дмитриев К.А. От Монте-Карло к квази Монте-Карло / К.А. Дмитриев // Труды конференции ГрафиКон'2002, 16-21 сентябрь 2002, Нижний Новгород, Россия. – 2002. – С. 53-59. – [Электронный ресурс]. – Режим доступа: <http://www.graphicon.ru/en/conference/2002/proceedings>. Дата доступа: 03.08.2016.
9. Wang L. Monte Carlo modeling of light transport in multi-layered tissues in Standard C / L. Wang, S.L. Jacques. – Houston, Texas: University of Texas M.D. Anderson Cancer Center, 1992. – 183 p. – [Электронный ресурс]. – Режим доступа: <http://oilab.seas.wustl.edu/mcr5/Mcman.pdf>.
10. Моргун К.О. 3D моделювання анімованих персонажей / К.О. Моргун, Д.П. Кучеров // Наукоємні технології. – №2 (26). – 2015. – С.133 – 140.
11. sRGB. – [Электронный ресурс]. – Режим доступа: <https://ru.wikipedia.org/wiki/SRGB>.
12. McCamy C.S. A color-rendition chart / C.S. McCamy, H. Marcus, J.G. Davidson // Journal of Applied Photographic Engineering. – Vol.2. – N.3. – 1976. – P.95-99. – [Электронный ресурс]. – Режим доступа: <https://www.cis.rit.edu/~cnspci/references/mccamy1976.pdf>
13. XYZ (цветовая модель) – [Электронный ресурс]. – Режим доступа: https://traditio.wiki/XYZ_.